

フレーパクトコンクリートのフレッシュモルタルの粘性について

秋田高専 正 喬谷部正彦

1 序論

現在 fresh prepacked concrete (モルタルと“”の) のワーカビリティーを測定 (表現するにはまだ未だ試験 (フレーパクト用) 等があるが一般的ではないと考えられる。一般的に示すためにモルタルをビニガム流体と仮定してコンシスティニーに關係があると考えらるるビニガム粘度 (μ_0) を求めた。Krieger, 及び Maron による相溶法での粘性測定法を実験では使用した。Krieger, Maronによると

$$g(T_w) = T_w (\alpha_a + \frac{d\alpha_a}{4d \log T_w}) \quad \cdots \textcircled{1}$$

$g(T_w)$: 変形速度 T_w : 補面せん断応力 α_a : 見掛け流動度 ($\alpha_a = 4\mu_0/R_{T_w}$) R_{T_w} : 平均流速

式中の第二項は非Newton流体であるために付加された項で Newton 流体で α_a は定数であるからこの項は 0 となる。ビニガム流体の流動特性上から

$$Q/\pi R^3 = [1/4 - \alpha_a/T_w + (T_w/\mu_0)^4/12] \cdot (T_w/\mu_0) \quad \cdots \textcircled{2}$$

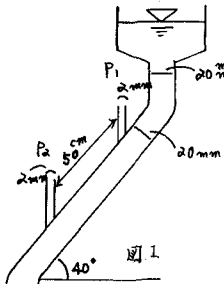
式に管内の定常流れと $T_w \ll \mu_0$ を考えて整理すると下記の式が得られる。

$$\Delta P = 8\mu_0 Q/\pi R^4 + 8\mu_0 T_w/3R \quad \cdots \textcircled{3}$$

然るに実験から圧力降下 (ΔP), 流量 (Q), 管径 (R), 長さ (l) よりビニガム粘度 μ_0 を降伏値で求める。

2 実験装置

図1に示すように片奥と P_2 奥との圧力降下を測定するため傾きをつけて水頭差を測定した。使用材料は管至 20°のエスローライフと管至 2°のガラス管を用い、同様な傾きの異なるエスローライフ ($No.1 44^\circ$, $No.2 40^\circ$, $No.3 35^\circ$, $No.4 23^\circ$, $No.5 13^\circ$) を用い圧力水頭及び流量の変化をえたすよにした。No.1 ~ No.5 のエスローライフは同種、同内径でガラス管も同様である。流量測定は表面の



モルタル面を一定にし管内を満たししながら 10°の出口より流出来れるモルタルを一定時間、容器に受け取りモルタルの単位容積重量と所要時間とから求めた。実験中の温度は $17^\circ \pm 4^\circ C$ である。モルタルの使用材料は下記の通りである。

セメント: 普通ポルトランドセメント

フライアッシュ

比 重 (g/cm³)	吸水 率(%)	粗粒 率	ふるい通過率(%)			
			0.15 **	0.7	0.6	1.0
2.43	1.65	12.5	2.62	99.4	89.4	27.4

細骨材: 斎川産のもので物理試験の結果を表記する。
配合は $C/F = 2.2$, $W/C+F = 39.3\%$, $S/C+F = 0.7$, $F/C+F = 10\%$, $S = 15\%$, $C : S : F : W : F = 1 : 1.65 : 0.7 : 2.43 : 0.22$
 F : フライアッシュ S : 細骨材の量 W : 水の量 F : フレッシュモルタル (MIC 109型) を使用し練り混ぜ時間で 10 分とした。

3 結果と考察

実験で得られた結果を表1に示す。(紙面都合上一部を除く) フロー値 (F_a) について考えよう。

同じ傾きの管においても F_a が異なる。モルタルの性状を調べるのと同一の F_a でなくではならない。表 1 をみると同一の F_a はほとんどない。それは車実験では 3 つの範囲にわかった。その範囲では近似的に同一粘性と仮定してビニガム粘度を推察した。

図 2 には $g(T_w) \sim T_w$ の関係を示す。この図よりモルタルはビニガム流体に属していることが理解できる。 $F_a = 31.6 \sim 34.3$ の時は塑性流体に近いと言える。次に流量と圧力降下の関係を図 3 に示し、それから μ_0 , T_f を求めた。ビニガム流体の輸送する際の管内流動の圧力損失は、エーテン流体の Darcy-Weisbach の式を類似した式 (γ 、 α は省略) で f_b (摩擦係数) と R_{eff} (レインルズ数) を計算した。それを表 1 に示す。この計算値から、 f_b は同範囲内で同勾配の f_b はほとんど一致している。 $f_b - R_{\text{eff}}$ の関係に図 1 と表 1 ～

No. 5 に行くにつれて f_b が大きくなり、 R_{eff} が小さくなっていることがわかる。このことは $f_b - R_{\text{eff}}$ の関係が正しく結果であることが理解できる。

以上の結果を考察すると、一般にモルタルはビニガム流体として扱われていいのが車実験では $F_a = 32$ 以後により塑性流体に近づいていることがわかる。しかし車実験の装置では温度、実験時間の温度(実験中の温度)が一定条件を保持することができ困難であるとともに、砂の粒度を一様にするなどの困難等で測定値に誤差が含まれていいと考えられるので、 T_f , μ_0 , f_b , R_{eff} は図 1 も誤差が考えられ、これらの計算値について検討中である。また今後の課題としては、時間経過と共に特性値がどのように変化していくか、流動特性値が骨材中で流出するモルタルにどのよう影響を与えるかである。最後に車実験にあたってお手伝い戴いた秋田大学工不工学科、田口敬、山森三重城、内君に心から感謝いたします。

参考文献

- 西村新蔵、木山英郎、阪田憲次、桜井紀朗、宗次修郎、太田孝、古賀和敏：大寸法の碎石を用いた粘性的性質に関する基礎研究 (日本機械学会誌第 66 卷、1963)
：fresh Paste 並びにモルタル
：Prepacked concrete によるこの実験的研究
： $\mu_0 = 4.048 \times 10^{-2}$ ($\text{kg} \cdot \text{s}/\text{m}^2$)
： $T_f = 29.5^\circ\text{C}$
： $T_f = 19.80^\circ\text{C}$ (kg/m^2)
- 木田清、水口裕之：fresh-mortar のレオロジー定数に関する実験 (25 回年次講演会集)
伊藤四郎：非 Newton 流体の流動 (日本機械学会誌第 63 卷、1960)
：古賀和敏：大寸法の碎石を用いた Prepacked concrete によるこの実験的研究
：岐美路：スクリュの流動と熱伝達 (日本機械学会誌第 72 卷、1969)
：新見芳男、武川亮之助
：フロートコニクリート工法 (16) 山海堂
：木下うきづる (16) 山海堂
：以上市 26 回年次講演会集
：富田草雄：非 Newton 流体の流動
：非 Newton 流動の工場的取扱い

記号	F_a	Q	U_a	T_w	μ_0	f_b	R_{eff}
単位	sec	cm ³ /sec	cm/sec	g/cm ²	cm ² /sec	—	—
No. 1	28.65	120.3	38.3	0.9866	155.3	2.859	12.3
○	29.55	135.5	43.1	0.9932	173.7	2.167	13.8
No. 2	29.0	119.7	38.1	0.8299	183.9	2.665	12.5
○	28.45	128.4	42.9	0.8822	195.4	2.399	13.8
○	27.55	121.8	38.8	0.9746	170.9	2.655	12.5
No. 3	28.4	108.6	34.6	0.8489	162.2	3.154	10.2
△	29.8	97.4	31.0	0.8792	142.3	4.014	9.1
△	29.3	94.6	30.1	0.8868	135.9	4.207	7.4
No. 4	27.15	97.4	23.1	0.5397	171.1	5.365	6.1
○	28.3	71.2	20.7	0.5499	159.1	5.656	5.7
○	27.6	80.4	25.6	0.8893	173.8	4.639	7.0
△	31.0	65.4	20.8	0.4669	180.0	7.213	4.4
△	29.9	48.3	21.8	0.7023	103.9	7.027	4.5
No. 5	30.1	51.4	16.4	0.3129	209.3	10.728	2.8
○	27.2	64.0	17.3	0.3810	181.0	8.553	3.6

表 1

